

## بررسی روند تغییرات مکانی و زمانی تبخیر و تعرق به کمک سنجش از دور در مناطق نیمه خشک

**مصطفی یعقوب زاده<sup>\*</sup>، سعید برومند نسب، زهرا ایزداناه و حسام سید کابلی**

دانشجوی دکتری دانشکده مهندسی علوم آب دانشگاه تهران چمران اهواز

Mostafa.yaghoobzadeh@gmail.com

استاد دانشکده مهندسی علوم آب دانشگاه تهران چمران اهواز

boroomand@scu.ac.ir

استادیار دانشکده مهندسی علوم آب دانشگاه تهران چمران اهواز

z.izadpanah@scu.ac.ir

استادیار دانشکده مهندسی عمران دانشگاه صنعتی جندی شاپور دزفول

hesamkaboli@yahoo.com

### چکیده

تخمين دقيق تبخير و تعرق نقش مهمي در بيان آب در مقاييس منطقه اي برای برنامه ربيزي و مدبريت يهمن منابع آب ايقا مي كنند. تبخير و تعرق از طريق برآورد تبخير و تعرق پتانسيل در ايستگاههای هواشناسی و با مستقيماً از اندازه گيري های مزرعه اي يدست می آيد ولی تبخير و تعرق معمولاً به تغييرات در زمان و مكان يارش، خصوصيات هيدروليكي خاک و نوع و تراكم پوشش گيابي و اكتش سريع نشان می دهد. يتابراين تقريرياً تعبيان و توزيع زمانی و مکانی تبخير و تعرق در مناطق وسیع نهایا لایسیمتر و وسایل اندازه گیری دقیق ممکن نیست. به همین دلیل محققان از داده ها و الگوریتمهای میتنتی بر سنجش از دور برای تعبيان تبخير و تعرق واقعی استفاده می کنند. در این تحقیق روند تغییرات تبخیر و تعرق واقعی داشت تصاویر پاگوریتم بیلان انرژی برای زمین در طی دوره ۱۳۷۹ تا ۱۳۹۲ به کمک تصاویر سنجنده مودیس و داده های هواشناسی مورد بررسی قرار گرفت. همچنان تبخیر و تعرق تعبيان شده یا مدل های پمن مانتیت و هارگریوز سامانی مقایسه و ارزیابی شد. وجود ضرائب خطاب پابین یعنی مدل پمن مانتیت و سیال، دقت زیاد الگوریتم سیال را در تخمين تبخير و تعرق و پارامترهای آن نشان داد. نتایج حاصل از مقایسه تبخیر و تعرق و ساختن گیاهی NDVI نیز مشخص کرد پوشش گيابي و تبخير و تعرق با داشتن ضرب تبیین ( $R^2 = 0.908$ ) همبستگی خوبی با هم دارند. همچنان فرآیند تغییرات شاخص NDVI دمای سطحی زمین و تبخیر و تعرق در مزارع مورد تحقیق نشان داد که تبخیر و تعرق یا پابین رفتن دمای سطحی زمین و افزایش تراکم پوشش گيابي، زیاد می شود.

واژه های کلیدی: الگوریتم سیال، تصاویر مودیس، دمای سطحی زمین، شاخص NDVI، پمن مانتیت، هارگریوز-سامانی.

<sup>\*</sup>- آدرس نویسنده، سیوال: اهواز، دانشکده مهندسی علوم آب، دانشگاه شهید چمران اهواز

\*\* - دریافت: بهمن ۱۳۹۳ و پذیرش: خرداد ۱۳۹۴

## مقدمه

CYSEBAL نمود پایا داوید و همکاران (۲۰۱۳) الگوریتم را براساس الگوریتم سبال، داده‌های هواشناسی و خاک محلی برای دهکده ماندريا از بخش پافوس قبرس محاسبه نمودند و این الگوریتم را با الگوریتم سبال که براساس معادلات تجربی تعیین شده بود و همچنین روش پنمن مانیث به عنوان مرجع مقایسه نمودند. آنها از تصاویر لندست ۵ TM و لندست ۷ ETM+ برای مشخص کردن پارامترهای مدل سبال استفاده نمودند.

نتایج آنالیز آنها نشان داد که تفاوت بین CYSEBAL و SEBAL معنی‌دار و تفاوت بین CYSEBAL و روش پنمن معنی‌دار نیست. همچنین کریمی و همکاران (۱۳۹۱) دقت تبخیر و تعرق روزانه حاصل از الگوریتم سبال و تصاویر ماهواره LANDSAT5 TM را در مقابل اندازه گیری‌های لایسیمتری در مزرعه ذرت واقع در دشت ماهیدشت-سنجانی استان کرمانشاه ارزیابی و تبخیر و تعرق را در سطح دشت مورد مطالعه برآورد کردند.

حداکثر درصد خطای بین تبخیر و تعرق محاسبه شده برای محصول ذرت با الگوریتم سبال و مقادیر اندازه گیری شده در لایسیمتر کمتر از ۱۰ درصد تعیین گردید. در تحقیقی دیگر در ایران، اکبری و همکاران (۱۳۹۰) به کمک سنجش از دور، تبخیر و تعرق پتانسیل و واقعی را در شرایط اقلیمی مختلف برآورد کردند و نتیجه گرفتند که میزان تبخیر و تعرق در سال کم بارش به بیشترین میزان رسیده است. با مقایسه نتایج تبخیر و تعرق بدست آمده از روش سنجش از دور با دو روش برآورد تبخیر-تعرق (هارگریوز و پنمن مانیث) در هر سال مشاهده شد که نتایج بدست آمده از روش سنجش از دور با ریشه میانگین مربعات خطای ۰/۶۷ و میانگین خطای مطلق ۰/۴ مطابقت خوبی با برآوردهای حاصل از روش‌های محاسباتی دارد که نشان دهنده امکان استفاده از تکنیک سنجش از دور برای تخمین تبخیر و تعرق مکانی در سطوح مختلف مزرعه و شبکه‌های آبیاری می‌باشد.

تبخیر و تعرق زمین‌های آبیاری یک ابزار مفید برای ارزیابی کفایت مقدار آب آبیاری مورد استفاده می‌باشد. همچنین تبخیر و تعرق واقعی یکی از اجزای اصلی بیلان هیدرولوژیکی است و تاثیر آن بر روی مطالعات هیدرولوژی، کشاورزی، جنگلداری و محیط زیست واضح و روشن می‌باشد. روش مرسوم محاسبه تبخیر و تعرق براساس داده‌های هواشناسی است ولی این طریق محاسبه بر اساس مشاهدات نقطه‌ای و داده‌های هواشناسی به دلیل تغییرات زمانی و مکانی آن مشکل می‌باشد. تخمین منطقی و بهتر تبخیر و تعرق در مناطق بزرگ می‌تواند به کمک تصاویر ماهواره‌ای و سنجش از دور بدست آید. این روش می‌تواند ابزار مفیدی برای محاسبه تبخیر و تعرق واقعی از یک پیکسل منحصر به فرد تا کل تصویر فراهم نماید.

در سالیان اخیر، الگوریتم‌های سنجش از دور متعددی برای تعیین تبخیر و تعرق گسترش یافته‌اند و نتایج قابل قبولی را ارائه نمودند. یکی از الگوریتم‌های سنجش از دوری مهم در محاسبه تبخیر و تعرق واقعی، الگوریتم بیلان انرژی برای زمین است که می‌تواند برای تخمین اجزا مختلف بیلان انرژی سطح زمین و همچنین تبخیر و تعرق واقعی به کار برده شود (ساری و همکاران، ۲۰۱۳). الگوریتم سبال در اکثر نقاط دنیا با اقلیم‌های مختلف، به منظور برآورد تبخیر و تعرق و سایر شارهای گرمایی در سطح مورد استفاده قرار گرفته و نتایج نسبتاً رضایت‌بخشی را ارائه کرده است.

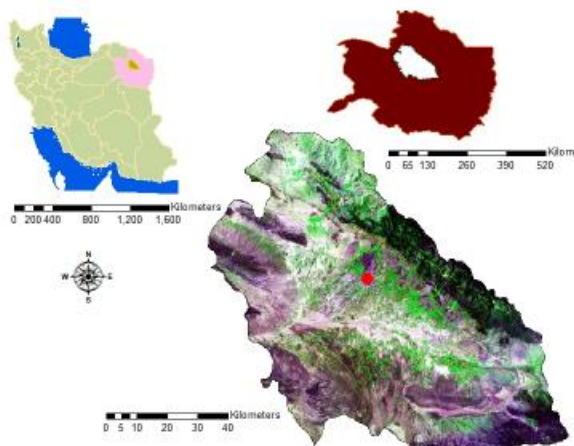
استیل و همکاران (۲۰۱۴) برای کم کردن اثرات سیل رودخانه دویس در شمال شرقی ایالت داکوتای شرقی آمریکا از الگوریتم سنجش از دور سبال و داده‌های کاپری اراضی و پیمایش زمینی استفاده کردند. اختلاف ۱۷ و ۴۱ میلی‌متر تبخیر و تعرق محاسبه شده پنبه و گندم با سبال و داده‌های اندازه گیری شده در طول فصل کشت نشان می‌دهد که می‌توان برای کاهش اثرات سیل و مدیریت منابع آب نیز از الگوریتم سبال استفاده

## مواد و روشها

### منطقه مورد مطالعه

منطقه مطالعاتی در این تحقیق دشت نیشابور می‌باشد، این دشت با وسعت ۷۲۹۳ کیلومتر مربع، جزیی از حوضه آبریز کویر مرکزی بوده که ۱۰۰ کیلومتر مربع آن را داشت (۵۶ درصد) و بقیه را ارتفاعات تشکیل می‌دهد از نظر موقعیت جغرافیایی حوضه مذکور در حدفاصل ۱۳° ۵۸' تا ۳۰' ۵۹" طول شرقی و ۴۰° ۴۰' ۳۹" تا ۳۹° ۲۹" عرض شمالی قرار دارد شکل (۱).

در این مطالعه سعی شد به ارزیابی تغییرات مکانی و زمانی تبخیر و تعرق واقعی و نیازآبی گیاهان بر اساس مدل سنجش از دور SEBAL در دشت نیشابور پرداخته شود. برای بازیابی و محاسبه پارامترهای بیلان انرژی از تصاویر سنجنده مودیس ماهواره ترا استفاده شد. همچنین دراین تحقیق، رابطه تبخیر و تعرق با شاخص پوشش گیاهی NDVI و دمای سطحی زمین در موقعیت‌های مکانی و زمانی مختلف دشت مشخص و با هم مقایسه گردید.



شکل ۱- موقعیت منطقه مورد مطالعه در سطح استان و کشور

### روش تحقیق

در این تحقیق از تصاویر سنجنده مودیس ماهواره ترا برای سال‌های ۱۳۷۹ تا ۱۳۹۲ استفاده شده است. تصویر ماهواره‌ای که مربوط به روز ژولیوسی ۱۹ (۲۹ زولای میلادی یا ۱۸ نیور شمسی) می‌باشد برای تعیین تبخیر و تعرق واقعی با الگوریتم سبال در نظر گرفته شده است. این تصاویر قدرت تفکیک یک کیلومتر دارند و بنابراین هریکسل از این تصاویر مساحتی در حدود ۱۰۰ هکتار زمین را شامل می‌شود. برای ارزیابی مدل سبال، تبخیر و تعرق به کمک روش‌های پمنان مانیث و هارگریوز سامانی و با درنظرگرفتن ضریب رشد گیاهی محاسبه شده و با تبخیر و تعرقی که از الگوریتم سبال بدست آمده، مورد مقایسه و بررسی قرار گرفتند. همچنین نرم افزارهای

این حوضه از جهات شمال، جنوب، غرب و شرق بترتیب به ارتفاعات بیانلود، تپه ماهورهای نیزه بند، سیاه کوه و کوه نمک (حوضه آبریز دشت رخ)، حوضه آبریز دشت سیزوار و بلندی‌های لیلا جوق و یال یلنگ محدود شده است. حداقل و حدائق ارتفاع حوضه بترتیب با ۳۲۰.۵ و ۱۰۶۵ متر در قله بیانلود و خروجی رودخانه کال شور از حوضه واقع شده است. آب و هوای منطقه نیمه خشک و خشک، متوسط درجه حرارت آن ۱۲ درجه سانتیگراد و میزان بارندگی آن بطور متوسط برای کل دشت ۲۹۲ میلی متر گزارش شده است. میزان تبخیر بعده بالابدن درجه حرارت هوا زیاد بوده و متوسط آن برای کل حوضه ۲۳۳۵ میلی متر در سال است (حاشمی سیوکی و شجاعی سیوکی، ۱۳۹۰).

$$\frac{G}{R_n} = \frac{T_S}{\alpha} \times \left[ 0.0032 \times \alpha + 0.0062 \times \alpha^2 \right] \times \left[ 1 - 0.978 \times NDVI^4 \right] \quad (2)$$

که در آن:

$T_S$ : دمای سطحی بر حسب درجه سانتیگرادو  $\alpha$ : آلبیدوی سطحی می باشد.  $NDVI$  شاخصی است که به میزان و وضعیت پوشش گیاهی حساسیت دارد و این شاخص نشانه توان و تراکم پوشش گیاهی سطح می باشد. کرجکی و بزرگی آن وابسته به فعالیت فتوسنتز در گیاه مستقر بر سطح زمین است. به شکل کلی مقادیر بزرگتر این شاخص نشانه شادابی و تراکم بیشتر پوشش گیاهی خواهد بود. دامنه آن به شکل نرمال در محدوده  $-1 \text{ تا } +1$  در نظر گرفته می شود. شاخص مربور از رابطه زیر قابل بررسی و تخمین خواهد بود:

$$NDVI = \frac{NIR - RED}{NIR + RED} \quad (4)$$

که در آن:

$NIR$ : معرف باند فروسرخ نزدیک و  $RED$ : باند قرمز می باشد. در سیال بهتر است از بازنایندگی این دو باند استفاده شود. تصاویر سنجنده مربوس دارای ۳۶ باند مجرأ از هم می باشد که باند دو، طول موجی معادل فروسرخ نزدیک ( $NIR$ ) و باند یک طول موج باند قرمز ( $RED$ ) را مشخص می کند.

یکی دیگر از اجزای معادله بیان انرژی شارگرما محسوس ( $H$ ) است. روابط آبی و دینامیکی موجود بینگر ارتباط شارگرما محسوس ( $H$ ) با اختلاف دمای بین سطح زمین و هرای مجاور چسبیده به سطح است که بصورت زیر قابل تخمین است:

$$H = \frac{\rho_{air} \times C_{air} \times dT}{r_{ah}} \quad (5)$$

که در آن:

$\rho_{air}$ : چگالی هوا (کیلوگرم بر مترمکعب)،  $C_{air}$ : گرمای ویژه هوا (ژول بر کیلوگرم بر کلوین)،  $dT$ : اختلاف دمای بین دو ارتفاع  $z_1$  و  $z_2$  (کلوین) و  $r_{ah}$ : مقاومت

ARC GIS10.2 و ENVI 5 و ERDAS9.1 پردازش تصاویر ماهواره ای و تهیه نقشه های خروجی پکار بردۀ شده اند.

الگوریتم بیان انرژی برای زمین (سیال) یکی از الگوریتم های سنجش از دور است که تبخیر و تعرق گیاه را براساس تعادل لحظه ای انرژی در سطح هر پیکسل از تصویر ماهواره ای محاسبه می نماید (باستیانسن و همکاران (۱۹۹۸)، باستیانسن (۲۰۰۰) و باستیانسن و همکاران (۲۰۰۵)). بنابراین روش ها و الگوریتم هایی مانند سیال نیازمند حل معادله بیان انرژی هستند که در آن تبخیر و تعرق واقعی ( $\lambda ET$ ) بعنوان جزء باقیمانده اختلافات بین تشعشع خالص ورودی به سطح زمین ( $R_n$ ) و شار گرمای محسوس خارج شده از سطح ( $H$ ) و نیز شار گرمای ورودی به زمین ( $G$ ) قابل محاسبه می باشد:

$$\lambda ET = R_n - G - H \quad (1)$$

که در آن:

مقدار  $R_n$  تفاضل بین شارهای تشعشعی ورودی ( $G$ ) و خروجی ( $H$ ) است که بصورت طول موجهای بلند ( $L$ ) و کوتاه ( $S$ ) به محدوده مجاور سطح زمین وارد و خارج شده و نابعی از مقدار آلبیدوی سطحی ( $\alpha$ ) و ضریب گسیلنگی سطحی ( $\epsilon_0$ ) است و بر اساس معادله زیر به دست می آید:

$$R_n = (1 - \alpha) R_{s4} + R_{l4} - R_{l1} - (1 - \epsilon_0) R_{l1} \quad (2)$$

که در آن:

$\alpha$ : آلبیدوی سطحی،  $R_{s4}$ : تابش موج کوتاه ورودی ( $0/3$  تا  $3$  میکرومتر) بر حسب وات بر متر مربع،  $R_{l4}$ : تابش موج بلند ورودی ( $3$  تا  $100$  میکرومتر) بر حسب وات بر متر مربع،  $R_{l1}$ : تابش موج بلند خروجی بر حسب وات بر متر مربع،  $\epsilon_0$ : گسیلنگی سطحی عرضی باند می باشد. بنابراین تابش خالص عبارت از اختلاف بین جریان تابش ورودی و خروجی بوده و معیاری از مقدار انرژی موجود در سطح زمین به شمار می رود. مقدار  $G$  یا همان شار حرارتی حاک از رابطه تجربی باستیانسن بر اساس معادله زیر به دست می آید:

$$ET_{TrF} = \frac{ET_{inst}}{ET_{r-inst}} \quad (7)$$

$$ET_{act-24} = ET_{r-24} ET_{TrF} \quad (8)$$

که در آن:

$ET_{r-inst}$  تبخیر و تعرق مرجع در مقیاس ساعتی،  $ET_{r-24}$  تبخیر و تعرق در مقیاس روزانه،  $EtrF$  نسبت تبخیر و تعرق واقعی ساعتی به تبخیر و تعرق مرجع ساعتی که محققان نشان دادند که  $EtrF$  شبیه به ضریب رشد گیاهی ( $K_c$ ) بوده و مقدار آن در طول روز یا دوره زمانی مورد نظر ثابت می باشد (آلن و همکاران، ۲۰۰۲). در این تحقیق، جهت برآورد تبخیر- تعرق روزانه از تبخیر- تعرق لحظه‌ای، از مفهوم تبخیر- تعرق گیاه مرجع استفاده شده است.

به این منظور، تبخیر- تعرق گیاه مرجع در مقیاس ساعتی در لحظه گذر ماهواره ( $ET_{r-inst}$ ) و همچنین میزان آن در مقیاس روزانه ( $ET_{r-24}$ ) برای ایستگاه هواشناسی معرف منطقه محاسبه می گردد. سپس نسبت تبخیر- تعرق لحظه‌ای محاسبه شده از مدل سبال به تبخیر- تعرق گیاه مرجع در مقیاس ساعتی در لحظه گذر ماهواره تعیین و حاصلضرب این نسبت در تبخیر- تعرق روزانه گیاه مرجع، میزان تبخیر- تعرق واقعی روزانه ( $ET_{act-24}$ ) می باشد. مقدار تبخیر- تعرق گیاه مرجع در مقیاس ساعتی در لحظه گذر ماهواره ( $ET_{r-inst}$ ) و همچنین میزان آن در مقیاس روزانه ( $ET_{r-24}$ ) به کمک داده‌های ایستگاه هواشناسی سینزیتیک نیشابور و نرم افزار Ref-ET برسیله دو روش پمن ماتیث و هارگریوز سامانی محاسبه شده است.

روش پمن ماتیث به عنوان روش استاندارد برای محاسبه تبخیر تعرق مرجع با استفاده از داده‌های هواشناسی بیان می شود. همچنین روش پمن ماتیث، تنها روش برآورد است که برای اکثر کشورهای با اقلیم خشک

آبرودینامیکی برای انتقال گرما (ثانیه بر متر) می باشد. شار گرمای محسوس (H) توسط یک سری روابط رفت و برگشتی و تا زمان ثابت شدن یک عامل به نام طول مونین-ابرخوف (L) تعیین می گردد.

در روش سبال برای برآورد شار گرمای محسوس، ابتدا باید دو پیکسل سرد و گرم که به پیکسل‌های آستانه معروفند تعیین شود. یکی از این پیکسل‌ها که پیکسل سرد است مربوط به منطقه‌ای می شود که به طور کامل پوشیده از پوشش گیاهی آبیاری شده با دمای سطح زمین پایین باشد که این پیکسل دارای تبخیر و تعرق معادل تبخیر و تعرق مرجع می باشد. پیکسل دوم که پیکسل گرم نامیده می شود نقطه مقابل پیکسل سرد می باشد و زمین‌های بدون پوشش گیاهی با دمای سطح زمین زیاد را شامل می شود. در این تحقیق برای تعیین پیکسل سرد از TS و NDVI استفاده شده است به طریقی که در پیکسل سرد، NDVI حداقل و TS حداقل و در پیکسل گرم شاخص NDVI حداقل و TS حداقل می باشد.

در سبال برای بدست آوردن اختلاف دمای هوای نزدیک سطح (dT) در هر پیکسل، ابتدا باید این پارامتر را برای پیکسل‌های سرد و گرم بدست آورده و با ایجاد رابطه خطی بین این دو پیکسل می توان مقدار  $dT$  را برای سایر پیکسل‌ها بدست آورد. پس از آن مقدار شار گرمای محسوس بر اساس شرایط جوی و فرآیند تکراری تصحیح می گردد. مقدار لحظه‌ای تبخیر و تعرق برای زمان گذر ماهواره به کمک شار گرمای محسوس، شار گرمای نهان، میزان تلفات گرما از سطح به علت تبخیر- تعرق برای هر پیکسل با توجه به رابطه زیر قابل محاسبه می باشد.

$$ET_{inst} = 3600 \times \frac{\lambda ET}{\lambda} \quad (6)$$

که در آن:  
 $ET_{inst}$ : تبخیر- تعرق لحظه‌ای (mm/hr) و  $\lambda$ : گرمای نهان بخار آب می باشد.

$$RD = \left| \frac{x_i - x_m}{x_m} \right| \quad (13)$$

$$AD = x_i - x_m \quad (14)$$

که در آن:

$x_i$  و  $x_m$  مقادیر بدست آمده از مدل سبال و روش‌های پمن مانیت و هارگریوز-سامانی و  $n$  تعداد کل داده‌ها است. هرچه مقادیر شاخص‌های آماری به صفر نزدیک‌تر باشند، به این معناست که مقادیر بدست آمده از سبال از میزان خطای کمتری برخوردارند.

### نتایج

در این تحقیق، تبخیر و تعرق واقعی به کمک مدل سبال برای یک دوره زمانی بین سال‌های ۱۳۷۹ تا ۱۳۹۲ و روز ۷ ولیوسی (۱۸ تیرماه) براساس یک سری فرمول‌ها و محاسبات تعیین شده است. با این عمل علاوه بر مشخص شدن توزیع مکانی تبخیر و تعرق در سال‌های مختلف، از روند تغییرات تبخیر و تعرق در طی یک سری سال‌های متواتی اطلاع حاصل شد. برخی از اطلاعات و اجرا مدل سبال برای تصاویر مورد نظر در جدول (۱) نشان داده شده است. این اعداد مربوط به یکسل ایستگاه سینتیتیک نیشابور می‌باشد که از نقشه توزیع مکانی مربوط به هر پارامتر استخراج شده است. با انتخاب ۱۴ تصویر از ۱۴ سال مختلف می‌توان از روند تغییرات تبخیر و تعرق و پوشش گیاهی در طی این سال‌ها نیز مطلع شد. همچنین در این تحقیق، رابطه بین تبخیر و تعرق با پوشش گیاهی و دما مورد بررسی قرار گرفت. پمن مانیت و هارگریوز-سامانی از جمله روش‌های محاسباتی هستند که در این تحقیق برای ارزیابی الگوریتم سبال مورد استفاده قرار گرفتند و صحت نتایج این روش‌ها در مناطق مجاور دارای لایسیمتر به اثبات رسیده است (موسی‌بایگ و همکاران، ۱۳۸۸). مدل سبال توزیع مکانی تبخیر و تعرق را در سطح مناطق بزرگ مانند دشت و حوضه آبریز برآورد می‌کند. این در حالی است که روش‌های

و نیمه خشک از جمله ایران پیشنهاد شده است و معادله آن بصورت زیر می‌باشد (علیزاده، ۱۳۸۵).

$$ET_o = \frac{0.408\Delta(R_n - G) + \gamma \frac{900}{T+273} \times u_2(e_s - e_a)}{\Delta + \gamma(1 + 0.34u_2)} \quad (9)$$

که در آن:

$T$ : میانگین دمای روزانه هوا بر حسب درجه سانتی‌گراد،  $e_s$ : فشار بخار اشباع بر حسب کیلوپاسکال،  $e_a$ : فشار بخار واقعی بر حسب کیلوپاسکال،  $\Delta$ : کمبود فشار بخار اشباع،  $\Delta$ : شبیه منحنی فشار بخار بر حسب کیلوپاسکال بر درجه سانتی‌گراد و  $\gamma$ : ضریب ثابت سایکرومتری بر حسب کیلوپاسکال بر درجه سانتی‌گراد می‌باشد.

روش هارگریوز سامانی نیز یکی دیگر از روش‌های محاسبه تبخیر و تعرق مرجع می‌باشد که در سال ۱۹۸۵ میلادی توسط هارگریوز-سامانی ارائه شد (علیزاده، ۱۳۸۵).

$$ET_o = 0.0023(T_{mean} + 17.8)(T_{max} - T_{min})^{0.5} \times Ra \quad (10)$$

که در آن:

$ET_o$ : تبخیر و تعرق گیاه مرجع بر حسب میلی‌متر در روز،  $T_{mean}$  و  $T_{max}$ : حداقل، حداقل و میانگین دمای روزانه و  $Ra$ : حداقل ممکن تابش خورشید به سطح زمین با توجه به عرض جغرافیایی می‌باشد.

بهمنظور ارزیابی مدل سبال در برآورد میزان تبخیر و تعرق از شاخص‌های آماری محدود میانگین خطای، میانگین خطای مطلق<sup>۱</sup>، تفاضل نسبی (RD) و قدر مطلق تفاضل مطلق (AD) استفاده شده است.

$$RMSE = \sqrt{\frac{\sum_{i=1}^n (x_i - x_m)^2}{n}} \quad (11)$$

$$MAE = \frac{\sum_{i=1}^n |x_i - x_m|}{n} \quad (12)$$

۱ Root Mean Square Error (RMSE)

۲ Mean Absolute Error (MAE)

مزارع مورد تحقیق برداشت می‌شود و در بعضی مزارع مثل فیض‌آباد برداشت جو در چند روز قبل انجام شده است و روز ۱۸ تیر، آیش یا مرتع کم تراکم دارند. کشت غالب در مزارع دیگر را نیز محصورانی مانند چغندر قنده، پنبه، گوجه فرنگی و ذرت شامل می‌شود که به دلیل اینکه در اوایل رشد هستند ضریب رشد گیاهی پایین برای آنها اختصاص یافته است.

محاسباتی بصورت نقطه‌ای تبخیر و تعرق مرجع را محاسبه می‌نمایند. به همین دلیل، در این مطالعه از پنج مزرعه مهم دارای موقعیت مکانی مشخص که از توزیع مکانی مناسب در سطح دشت نیز برخوردار بودند استفاده شد که در این مزارع محصولات متنوعی کشت شد. تاریخ تصاویر مورد استفاده (روز ۱۹۰ ژولیوسی) مربوط به روز ۱۸ تیرماه از هر سال می‌باشد و در این تاریخ، گندم و جو

جدول ۱ اجزا و پارامترهای مدل سیال در طی فرآیند تعیین تبخیر و تعرق در ایستگاه سینوپتیک نیشاپور

G (w/m <sup>2</sup> )	H (w/m <sup>2</sup> )	Rn (w/m <sup>2</sup> )	Ts (°K)	NDVI	ET24 (mm/day)	متوسط دما (°C)	رطوبت نسبی متوسط (%)	بارندگی سالیانه (mm)	سال
۲۰.۵/۶	۱۱۹	۶۹۴/۱	۳۲۸/۴	.۰/۰۹۱	۶/۵۱	۲۶/۷	۲۱	۱۵۷/۶	۱۳۷۹
۱۹۶/۲	۱۲۶/۲	۶۹۹/۲	۳۲۷/۳	.۰/۰۸۵	۷/۰۱	۲۸	۲۰	۱۷۷/۹	۱۳۸۰
۱۷۹/۷	۶۱/۳۱	۷۱۸/۱	۳۲۰/۵	.۰/۱۱۶	۸/۶۲	۲۳/۸	۳۱	۱۹۰/۷	۱۳۸۱
۱۸۲/۱	۱۰.۷/۷	۷۵۱/۵	۳۲۰/۳	.۰/۱۲۸	۸/۳۵	۲۷/۶	۳۶	۲۴۱	۱۳۸۲
۱۸۶/۲	۸۱/۴	۷۲۵/۶	۳۲۲/۷	.۰/۱۰۲	۸/۳۱	۲۳/۸	۳۹	۳۰۱/۹	۱۳۸۳
۱۸۴/۱	۹۵/۵	۷۵۲/۵	۳۲۱/۳	.۰/۱۲۴	۸/۵۶	۲۸/۹	۳۶	۲۴۰	۱۳۸۴
۱۹۹/۷	۱۱۲/۷	۷-۵/۴	۳۲۷/۱	.۰/۱۱۵	۷/۱۵	۲۸/۹	۲۴	۲۰۶/۴	۱۳۸۵
۱۷۳/۶	۱۰۰	۶۸۰/۹	۳۱۹/۱	.۰/۱۵۷	۷/۳۵	۲۶/۳	۳۱	۲۸۶/۶	۱۳۸۶
۱۴۳/۴	۱۲۹/۸	۷-۷/۲	۳۱۰/۹	.۰/۱۰۰	۷/۴۸	۲۸	۳۵	۱۳۱/۴	۱۳۸۷
۱۶۰	۱۴۵/۲	۷۲۹/۲	۳۱۵/۶	.۰/۱۲۲	۷/۵۴	۲۶/۱	۲۲	۳۳۵/۷	۱۳۸۸
۲۰.۲/۶	۱۱۸/۳	۷۴۶/۴	۳۲۷/۷	.۰/۱۲۲	۷/۷۵	۲۹	۲۷	۲۱۳/۳	۱۳۸۹
۱۹۸/۶	۱۱۲/۹	۷۵۴/۵	۳۲۵/۶	.۰/۱۲۳	۸/۲۵	۲۹/۳	۲۴	۳۰۷/۹	۱۳۹۰
۱۸۴/۶	۹۴/۴۵	۷۶۳/۲	۳۲۱/۱	.۰/۱۵۹	۸/۷۶	۲۶/۶	۲۸	۲۲۶/۹	۱۳۹۱
۱۷۴/۴	۱۰.۱/۴	۷۴۰/۴	۳۱۷/۴	.۰/۱۶۷	۸/۳۸	۲۵/۳	۲۴	۲۲۵/۵	۱۳۹۲

جدول ۲- مقایسه بین تبخیر و تعرق واقعی حاصل از مدل سیال با تبخیر و تعرق مرجع پمن مانتب (Pm) و هارگریوز-سامانی (Hg)

RMSE		MAE		تفاضل مطلق		ضریب K <sub>C</sub>	تاریخ شروع کشت غالب	کشت غالب	مزارع
Hg	Pm	Hg	Pm	Hg	Pm				
۳/۸۹	۱/۵۳	-/۸۸	-/۰۸۷	۳/۸۲	-/۴۵	-/۶	بیست و پنجم فروردین	پنبه	سلیمانی
۳/۵۹	۱/۶۷	-/۹۶	-/۱۳	۳/۴۳	-/۶۲	-/۵	دهم اردیبهشت	چغندر قنده	معتمدیه
۳/۷۱	۱/۷۰	-/۹۹	-/۱۴۸	۳/۵۵	-/۷۴	-/۵	-	آیش	فیض آباد
۳/۴	۱/۶۸	-/۷۵	-/۰۱۱	۳/۲۳	-/۱۴	-/۶	هشتم تیرماه	ذرت	فاروب
۴/-۵	۱/۲۲	-/۹۱	-/۱۰۵	۳/۹۴	-/۵۷	-/۶	دوازدهم فروردین	گوجه فرنگی	حاجی آباد

جدول ۳- ارزیابی تبخیر و تعرق واقعی حاصل از سبال و تبخیر و تعرق مرجع (ET<sub>p</sub>) مدل پنمن مانیت در مزارع

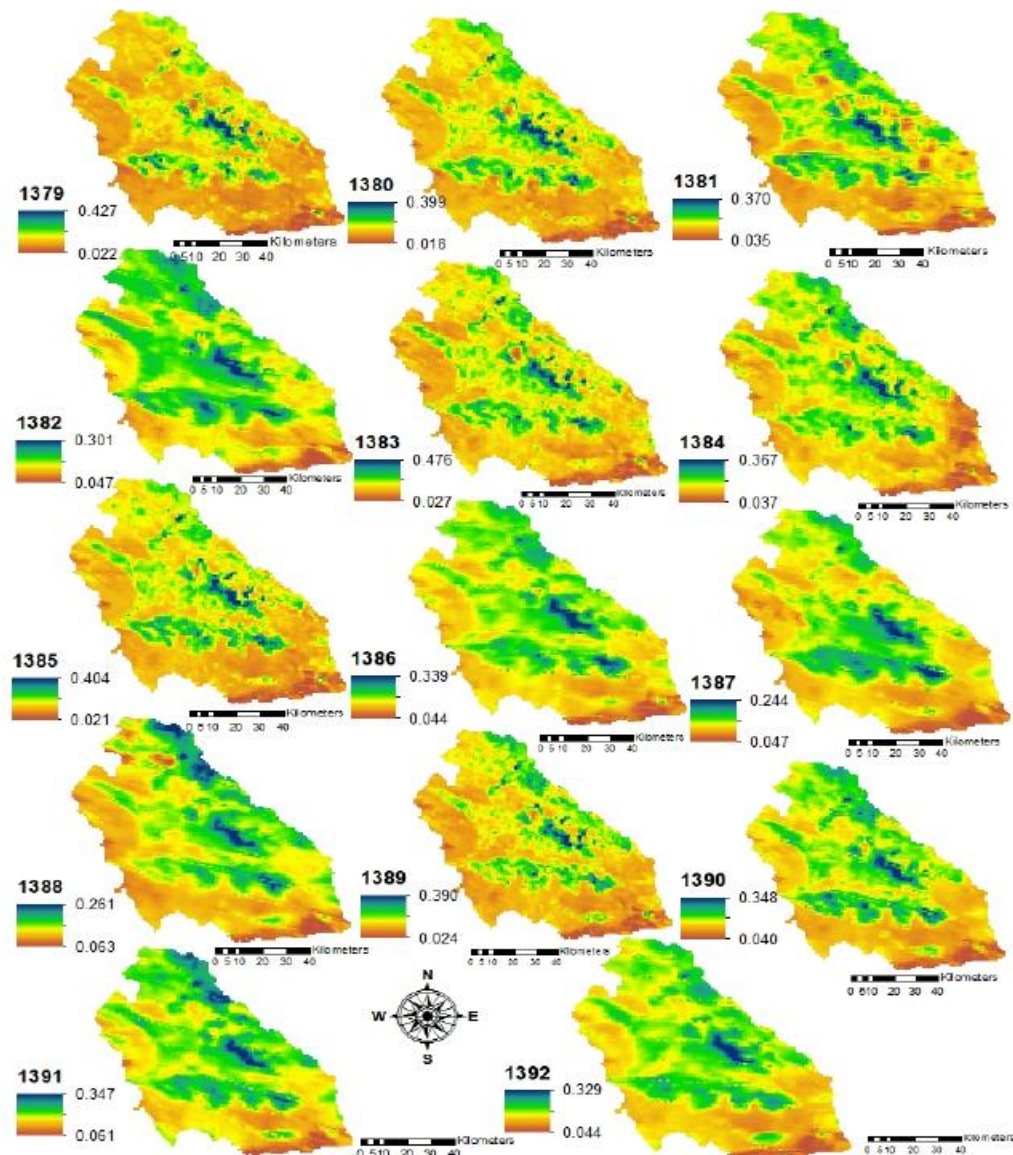
سال	ET <sub>p</sub>	سیلیمانی	معتمدیه	فیض آباد	فاروب	حاجی آباد	RD††	AD†	RD††	AD†	RD††	AD†	RD††	AD†	RD††	AD†	RD††	AD†
۱۳۷۹	۱۳/۴			.۰/۱۶	۱/۲۶	.۰/۲۵	۲/۰۲	.۰/۲۲	۱/۵	.۰/۲۳	۱/۵۶	.۰/۱۱	.۰/۹					
۱۳۸۰	۱۴/۳			.۰/۱	.۰/۸۴	.۰/۲۶	۲/۲۵	.۰/۰۱	.۰/۰۶	.۰/۱۵	۱/۰۸	.۰/۱	.۰/۰۷					
۱۳۸۱	۹/۱			.۰/۶۲	۲/۳۷	.۰/۴۴	۲/۳۹	.۰/۰۷	۲/۱۹	.۰/۶۱	۲/۷۹	.۰/۰۴	۲/۹۴					
۱۳۸۲	۱۱/۸			.۰/۳	۲/۱۲	.۰/۱۸	۱/۲۵	.۰/۰۴	۲/۲۴	.۰/۳۵	۲/۰۵	.۰/۲۵	.۰/۸					
۱۳۸۳	۱۰/۹			.۰/۳۳	۲/۱۹	.۰/۱۶	۱/۰۸	.۰/۳۶	۱/۹۶	.۰/۴۵	۲/۴۸	.۰/۳۶	۲/۳۵	۱/۰۹				
۱۳۸۴	۱۱/۴			.۰/۳۳	۲/۲۹	.۰/۱۶	۱/۱۲	.۰/۲۷	۲/۱۳	.۰/۴۲	۲/۳۹	.۰/۳۴	۲/۳۶					
۱۳۸۵	۱۶			.۰/۲۶	۲/۴۸	.۰/۳۶	۳/۴۱	.۰/۲۶	۲/۰۵	.۰/۲۶	۲/۰۴	.۰/۲	۱/۹۵					
۱۳۸۶	۱۳/۶			.۰/۰۳	.۰/۲۲	.۰/۰۵	.۰/۳۹	.۰/۰۱	.۰/۰۵	.۰/۰۳	.۰/۲۱	.۰/۰۸	.۰/۶۸					
۱۳۸۷	۱۴/۵			.۰/۰۵	.۰/۴۶	.۰/۰۱	.۰/۱۲	.۰/۲۴	۱/۷۱	.۰/۱۶	۲/۱۶	.۰/۰۴	.۰/۳۹					
۱۳۸۸	۱۴			.۰/۰۴	.۰/۳۵	.۰/۰۷	.۰/۶۱	.۰/۰۵	.۰/۲۲	.۰/۰۳	.۰/۲	.۰/۰۲	.۰/۱۳					
۱۳۸۹	۱۵			.۰/۱	.۰/۹۱	.۰/۲۱	۱/۸۸	.۰/۱۶	۱/۲۳	.۰/۱۲	.۰/۹۲	.۰/۱۳	.۰/۱۵					
۱۳۹۰	۱۴/۲			.۰/۰۶	.۰/۵۲	.۰/۰۶	.۰/۴۹	.۰/۰۴	.۰/۲۷	.۰/۰۴	.۰/۳۱	.۰/۰۶	.۰/۵۳					
۱۳۹۱	۱۱/۹			.۰/۰۷	۱/۹۳	.۰/۲۴	۱/۷۳	.۰/۲۹	۱/۷۱	.۰/۲۷	۱/۶۲	.۰/۱۸	۱/۲۸					
۱۳۹۲	۱۱/۲			.۰/۰۱	۱/۳۹	.۰/۲۱	۱/۴۱	.۰/۲۹	۱/۶۴	.۰/۲۷	۱/۵۱	.۰/۱۸	۱/۱۹	۱/۱۲				

است. شکل های (۲) و (۳) توزیع مکانی شاخص NDVI و تبخیر و تعرق واقعی برای روز ژولیوسی ۱۹۰ (۱۸ تیرماه) در طی چهارده سال متوالی را نشان می دهند. همان طور که در شکل (۲) مشخص است سال های ۱۳۸۶، ۱۳۸۲، ۱۳۸۱ و ۱۳۹۲ دارای پوشش گیاهی متراکم تر نسبت به سایر سال ها و سال های ۱۳۷۹ و ۱۳۸۵ از تراکم پوشش گیاهی کمتری برخوردار هست. اگر نگاهی به شکل (۳) نیز انداخته شود متوجه خواهد شد سال های ۱۳۸۲، ۱۳۸۶، ۱۳۹۱ و ۱۳۹۲ که از پوشش گیاهی متراکم تر برخوردارند از تبخیر و تعرق بیشتر و سال های ۱۳۷۹ و ۱۳۸۵ دارای پوشش گیاهی کم تراکم، از تبخیر و تعرق کمتر از سایر سال ها برخوردارند. البته در این میان، سال هایی نیز وجود دارد که تراکم پوشش گیاهی که با شاخص NDVI نشان داده می شود در آن از کیفیت خوبی برخوردار است ولی تبخیر و تعرق در آن شاید زیاد نباشد که علت اسم بردن از دما، رطوبت نسبی و میزان بارندگی در جدول (۱) ارتباط و تاثیر این عوامل بر تبخیر و تعرق می باشد. همچنین این عامل را باید در نظر گرفت که هر پیکسل سنجنده مودیس مساحتی در حدود ۱۰۰ هکتار زمین را شامل می شود که مزروعی که در کل ۱۰۰ هکتار

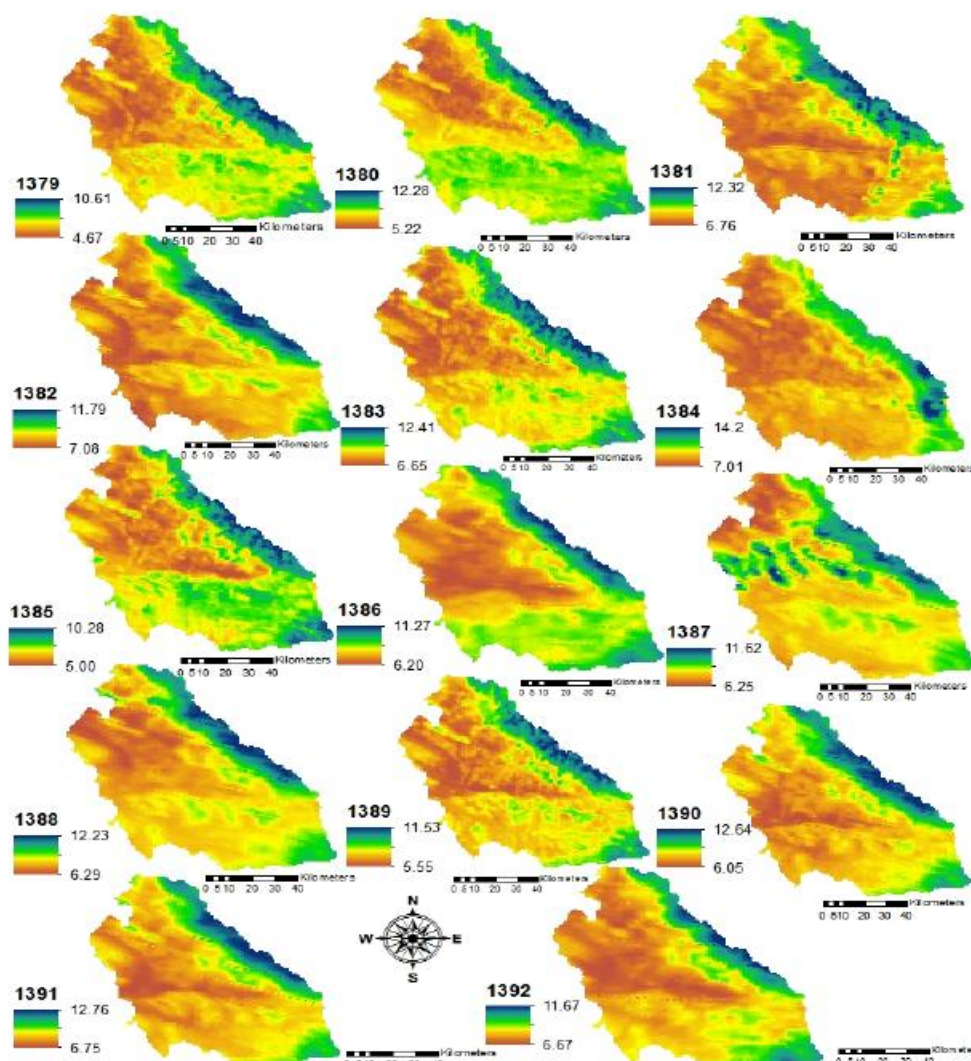
جدول (۲) نتایج مدل سبال با روش های معروف پنمن مانیت و هارگریوز سامانی را با کمک ضرایب تفاضل مطلق، خطای MAE و RMSE نشان می دهد. این مقایسه بر اساس میانگین چهارده سال انجام شده است و اگر متوسط ضرایب خطای گرفته شود، تفاضل مطلق، MAE و RMSE بین پنج مزرعه در ۱۴ سال در مقایسه با روش پنمن مانیت به ترتیب ۰/۵۰۴، ۰/۲۵۳ و ۰/۱۶۶ و در مقایسه با روش هارگریوز سامانی به ترتیب ۰/۰۹۰، ۰/۵۹ و ۲/۷۳ حاصل خواهد شد. مقادیر تبخیر و تعرق واقعی و پتانسیل مزارع بد همراه تفاضل مطلق و نسبی هر یک از سال های ۱۳۷۹ تا ۱۳۹۲ در جدول (۳) نشان می دهد در چه سال هایی برآورد دقیق تر بوده (۱۳۸۶ تا ۱۳۹۰) و در چه سال هایی به دلایل مختلف خطای بیشتری اتفاق افتاده است. همچنین جدول (۳) نشان می دهد در مزارع فاروب و حاجی آباد نتایج مدل های سبال و پنمن مانیت تطبیق بیشتری با هم دارند. همچنین در این تحقیق به منظور بررسی ارتباط بین پارامترهای تشکیل دهنده مدل سبال و اثر این پارامترها بر تبخیر و تعرق واقعی از دو پارامتر شاخص NDVI و دمای سطحی زمین TS استفاده شده

بیشتری دارند و این امر در نقشه ها با رنگ تیره به وضوح قابل مشاهده است.

کشت هماهنگی داشته باشد در مناطق تیمہ خشک کمتر یافت می شوند. شکل (۲) همچنین مشخص می کند مناطق کرهستانی که دمای سطح زمین پایین دارند تبخیر و تعرق



شکل ۲- شاخص پوشش گباهی NDVI برای روز ژولیوسی ۱۹۰ در دشت نیشابور در طی سالهای ۱۳۷۹ تا ۱۳۹۲



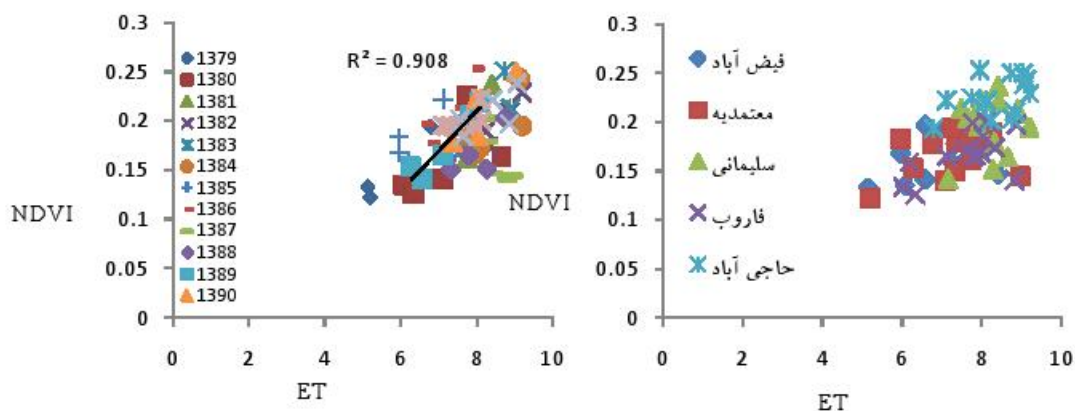
شکل ۳-تبخیر و تعرق واقعی برای روز ۱۹۰ (۱۸ تیرماه) در دشت نیشابور در طی سال‌های ۱۳۷۹ تا ۱۳۹۲

افزایشی داشته ولی دمای سطح زمین  $T_s$  در آن کاهش یافته است و بر عکس در مواردی که تبخیر و تعرق و NDVI کاهش یافته‌اند مانند سال ۱۳۷۹ دمای سطح زمین افزایش یافته است. ثابی نژاد و همکاران در سال ۱۳۹۰ در منطقه مشهد به همین نتیجه رسیده بودند. البته باید در اینجا اشاره کرد منظور از افزایش یا کاهش در سال ۱۳۷۹ یا هر سال دیگر، کل سال مورد نظر نیست بلکه در روز ۱۹۰ ژولیوسی (۱۸ تیرماه) آن سال می‌باشد. البته این را باید نادیده گرفت که بیشتر مزارع انتخابی دارای کشت غالب گندم و جو هستند که به دلیل برداشت در چند روز قبل از روز ۱۹۰ (۱۸ تیرماه) سبب شده است از مقدار

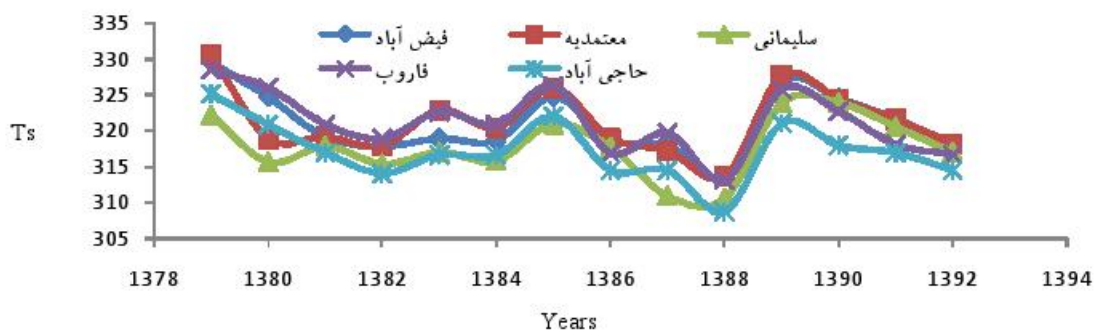
ارتباط تبخیر و تعرق و شاخص NDVI با همبستگی خوب (ضریب تبیین  $R^2=0.908$ ) در شکل (۴) می‌تواند صحت مطالب ارائه شده را نشان دهد. این شکل همبستگی شاخص NDVI و تبخیر و تعرق واقعی را در طی سال‌های ۱۳۷۹ تا ۱۳۹۲ در سطح مزارع انتخابی نشان می‌دهند. شکل‌های (۵) و (۶) و (۷) رابطه بین دمای سطح زمین، شاخص NDVI و تبخیر و تعرق را در طی همان چهارده سال بین ۱۳۷۹ تا ۱۳۹۲ در سطح مزارع انتخابی نشان می‌دهند و با توجه به این اشکال می‌توان متوجه شد تقریباً در سال‌هایی که تبخیر و تعرق در آن افزایش یافته مانند سال ۱۳۸۶، شاخص NDVI نیز در آن روند

که تراکم پایین گیاه در اوایل کشت، سبب بالارفتن مقادیر NDVI و ET به مقدار قابل توجهی کاسته شود. بعضی از مزارع نیز وجود دارند که تازه شروع به کشت دوم کردند.

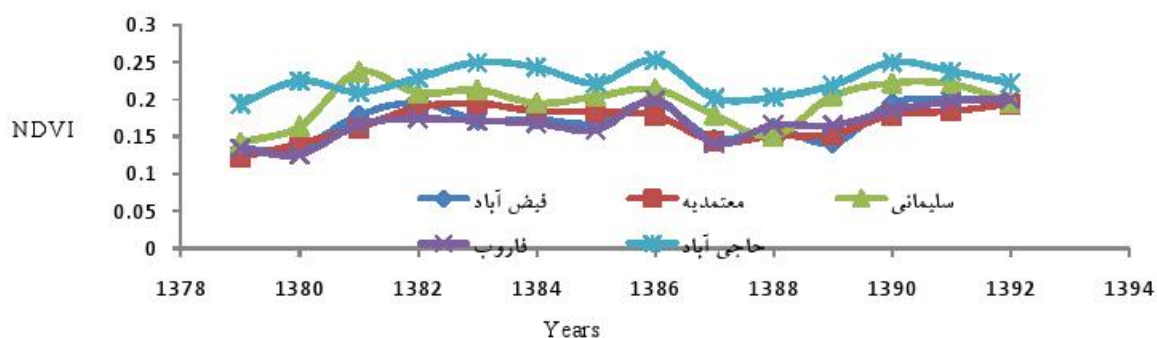
NDVI و ET به مقدار قابل توجهی کاسته شود. بعضی از مزارع نیز وجود دارند که تازه شروع به کشت دوم کردند.



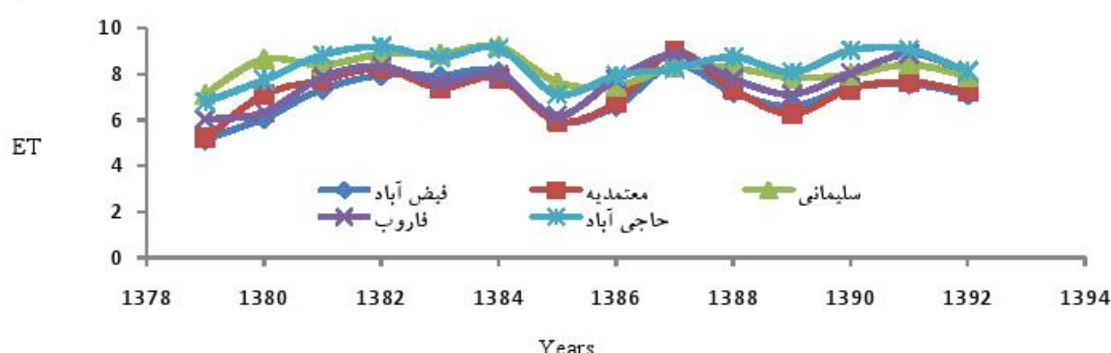
شکل ۴ همبستگی بین تبخیر و تعرق و NDVI برای سال های ۱۳۷۹ تا ۱۳۹۲ در سطح مزارع انتخابی



شکل ۵ تغییرات دمای سطح زمین (Ts) برای روز ۱۹۰ زولیوسی سال های ۱۳۷۹ تا ۱۳۹۲ در مزارع انتخابی



شکل ۶ تغییرات شاخص یوشن گیاهی (NDVI) برای روز ۱۹۰ زولیوسی سال های ۱۳۷۹ تا ۱۳۹۲ در مزارع



شکل ۷ تغییرات تبخیر و تعرق (ET) برای روزهای ۱۹۰ زولیوسی سال‌های ۱۳۷۹ تا ۱۳۹۲ در مزارع انتخابی

همچنین نتایج این تحقیق مشخص کرد که پارامتر پوشش گیاهی همسو و دمای سطحی زمین در جهت مخالف با تبخیر و تعرق تغییر می‌کند به طوری که در مناطق با پوشش گیاهی خوب و متراکم و دمای سطح زمین کم، تبخیر و تعرق بیشتر از مناطق دیگر است. در جهت مخالف بودن دما با NDVI درست شیوه انتخاب پیکسل سرد و گرم می‌باشد در آن موقع نیز برای انتخاب پیکسل سرد از پیکسل‌هایی با دمای کم و NDVI زیادتر استفاده شد. بنابراین باید در انتخاب پیکسل سرد و گرم دقت بیشتری ارائه کرد که تغییر در پیکسل سرد و گرم بر نتایج مدل سبال موثر خواهد بود. پائزول و همکاران (۲۰۱۴) در تحقیقی حدائقی اثر تعیین اشتباه پیکسل سرد و گرم را  $7.20\%$  مشخص کرده بودند. بخصوص به دلیل اینکه هر پیکسل تصاویر مودیس مساحتی در حدود  $100\text{ هکتار}$  را شامل می‌شود ممکن است قسمتی از پیکسل سرد مناطق بدون پوشش گیاهی و با دمای زیاد و پیکسل گرم مناطقی با پوشش گیاهی مناسب را شامل شود که این سبب منشد تبخیر و تعرق بیشتر یا کمتر برآورد شود. همچنین این تحقیق، سال‌هایی که تبخیر و تعرق و نیازآبی در مقایسه با سایر سال‌ها برای یک روز خاص بیشتر بوده و سال‌هایی که گیاهان به دلایل مختلف دچار تنش ناشی از کمبود تبخیر و تعرق شده اند را مشخص نمود. در حالت کلی این تحقیق مشخص کرد برای مناطق نیمه خشک مانند دشت نیشابور که در مقیاس وسیع و دارای مناطق کوهستانی فراوان می‌باشند، استفاده از وسائل اندازه‌گیری

### بحث و نتجه‌گیری

سبال یکی از الگوریتم‌های سنجش از دور متدالول برای تعیین نقشه توزیع مکانی تبخیر و تعرق و تعیین نیاز آبی گیاهان می‌باشد که در این تحقیق با کمک ۱۴ تصویر سنجنده مودیس مربوط به سال‌های ۱۳۷۹ تا ۱۳۹۲ در یک روز خاص (روز ۱۹۰ زولیوسی) این امر انجام شده است. همچنین به کمک تصاویر ماهواره‌ای، پارامترهای سبال مانند دمای سطح زمین، شاخص NDVI و تبخیر و تعرق مشخص شدند. برای صحت نتایج مدل سبال از دو روش پمنن مانیث و هارگریز سامانی استفاده گردید. وجود ضرایب خطای پایین حاصل از ارزیابی بین نتایج مدل سبال با روش‌های محاسباتی بخصوص در مورد روش پمنن مانیث حاکی از صحت نتایج مدل سبال دارد. در تحقیقات دیگر، کیبتالا و همکاران (۲۰۱۳) از ارزیابی الگوریتم SEBAL و روش پمنن مانیث، توافق خوب با ضرایب خطای RMSE  $0.34$  و خطای MAE  $0.28$  و ضریب تعیین ( $R^2$ )  $0.72$  بدست آورده‌اند و سان و همکاران (۲۰۱۱) نیز خطای  $0.108$  از مقایسه تبخیر و تعرق بدست آمده از سبال و روش پمنن مانیث بدست آورند. این همبستگی خوب بین سبال با روش‌های محاسباتی نشان داد که می‌توان با وسعت زیاد بر این مدل، تبخیر و تعرق در یک مکان با وسعت زیاد را پنهان‌بندی نمود و در برنامه‌ریزی آبیاری و طرح‌های منابع آب از آن‌ها استفاده نمود.

مشخص شدن پهنه‌بندی تبخیر و تعرق از روند تغییرات  
و تعرق واقعی را با روش‌های مبتنی بر سنجش از دور  
پوشش گیاهی و دمای سطح زمین متنطبق نیز اطلاع حاصل  
نمود.

مستقیم تبخیر و تعرق امکان پذیر نیست و می‌توان تبخیر  
و تعرق واقعی را با روش‌های مبتنی بر سنجش از دور  
مانند الگوریتم سیال تخمین زد و از آن در طرح‌های منابع  
آب، کشاورزی و محیط‌زیست بهره جست. همچنین با

### فهرست منابع

۱. اکبری، م.، سیف‌زاده، و.ح. زارع ابیانه. ۱۳۹۰. برآورد میزان تبخیر و تعرق واقعی و پتانسیل در شرایط اقلیمی مختلف با استفاده از سنجش از دور. آب و خاک. ۲۵(۴): ۸۴۴-۸۳۵.
۲. شایی نژاد، س.ح.، نوری، س.، و س.م. هاشمی نیا. ۱۳۹۰. برآورد تبخیر و تعرق واقعی با استفاده از تصاویر ماهواره‌ای در منطقه مشهد. آب و خاک. ۲۵(۲): ۵۴۷-۵۴۰.
۳. خاشیعی سیروکی، ع. و ح. شجاعی سیروکی. ۱۳۹۰. بررسی منابع آب شور و لب شور دشت نیشابور و ارانه راهکارهای مدیریتی استفاده از آن. یازدهمین سمینار آبیاری و کاهش تبخیر. دانشگاه شهری‌باهنر کرمان.
۴. علیزاده، ا. ۱۳۸۵. رابطه آب و خاک و گیاه. دانشگاه امام رضا(ع). انتشارات آستان قدس رضوی. ۶: ۳۲۵-۳۱۹.
۵. کریمی، ع.، فرهادی بانسله، ب. و ح. حصادی. ۱۳۹۱. برآورد تبخیر و تعرق واقعی در مقیاس منطقه ای با استفاده از الگوریتم سیال و تصاویر لندست. آبیاری و زهکشی ایران. ۶(۴): ۳۶۴-۳۵۲.
۶. موسوی بایگی، م.، عرفانیان، م. و م. سرمد. ۱۳۸۸. استفاده از حداقل داده‌های هواشناسی برای برآورد تبخیر و تعرق گیاه مرجع و ارائه ضرایب اصلاحی (مطالعه موردی: استان خراسان رضوی). آب و خاک. ۲۳(۱): ۹۹-۹۱.
7. Allen, R.G., Tasumi, M., Trezza, R., Waters, R., and W.G.M. Bastiaanssen. 2002. Surface Energy Balance Algorithm for Land (SEBAL)-Advanced Training and User's Manual, University of Idaho: Kimberly, ID, USA, 98 p.
8. Bastiaanssen, W.G.M. 2000. SEBAL-based sensible and latent heat fluxes in the irrigated Gediz Basin, Turkey. Hydrology. 229: 87-100.
9. Bastiaanssen, W.G.M., Menenti, M., Feddes, R.A. and A.A.M. Holtslag. 1998. A remote sensing surface energy balance algorithm for land (SEBAL), part 1: formulation. Hydrology. 212-213:198-212.
10. Bastiaanssen, W.G.M., Noordman, E.J.M., Pelgrum, H., David, G., Thoreson, B.P., and R.G. Allen. 2005. SEBAL model with remotely sensed data to improve water resources management under actual field conditions. Irrigation Drainage Engineering. 131: 85-93.
11. Kiptala, J.K., Mohamed, Y., Mul, M.L., and P. Van der Zaag. 2013. Mapping evapotranspiration trends using MODIS and SEBAL model in a data scarce and heterogeneous landscape in Eastern Africa. Water Resources Research. 49(12): 8495-8510.
12. Papadavid, G., Hadjimitsis, D.G., Toulios, L., and S. Michaelides. 2013. A modified SEBAL modeling approach for estimating crop evapotranspiration in semi-arid conditions. Water resources management. 27(9): 3493-3506.
13. Paul, G., Gowda, P., Vara Prasad, P., Howell, T., Aiken, R., and C. Neale. 2014. Investigating the influence of roughness length for heat transport (zoh) on the performance of SEBAL in semi-arid irrigated and dry land agricultural systems. Hydrology. 509:231-244.

14. Sari, D.K., Ismullahb, I.H., Sulasdib, W., and A.B., NHartob. 2013. Estimation of water consumption of lowland rice in tropical area based on heterogeneous cropping calendar using remote sensing technology. Procedia Environmental Sciences. 17: 298 – 307.
15. Steele, D., Thoreson, B., Hopkins, D., Clark, B., Tuscherer, S., and R. Gautam. 2014. Spatial mapping of evapotranspiration over Devils Lake basin with SEBAL: application to flood mitigation via irrigation of agricultural crops. Irrigation Science. DOI: 10.1007/s00271-014-0445-1.
16. Sun, Z., Weia, B., Sub, W., Shena, W., Wang, Ch., Youa, D., and Z. Ziu. 2011. Evapotranspiration estimation based on the SEBAL model in the Nansi Lake Wetland of China. Mathematical and Computer Modeling. 54: 1086–1092.